

بررسی مدولاسیون دامنه امواج غیرخطی در برهمنکنش لیزر-پلاسما با تابع توزیع تسالیس برای الکترون‌ها

علیرضا عبدی‌کیان*، محمدرضا محبی‌فر، شراره راج

گروه فیزیک، دانشکده علوم پایه، دانشگاه ملایر

دریافت: ۹۸/۲/۹
پذیرش: ۱۳۹۹/۱۱/۲۷

چکیده

در این مقاله، با استفاده از مجموعه معادلات مدل سیالی و معادلات ماکسول، معادله غیرخطی با جواب سالیتونی الکترومغناطیسی ناشی از برهمنکنش بین پالس لیزر با شدت بالا در محیط پلاسما به دست آمده است. تابع توزیع برای الکترون‌های غیرحرارتی، تابع غیرتعادلی تسالیس^۱ در نظر گرفته شده و با استفاده از روش مقایس چندگانه، معادله شرودینگر غیرخطی حاکم بر دامنه پتانسل برداری به دست آمده است. با استفاده از فرمول‌های به دست آمده برای سرعت فاز و گروه در می‌یابیم که این سرعت‌ها مستقل از پارامترهای پلاسما (نسبت الکترون‌های غیرحرارتی و پارامتر نافزوونور) هستند. در ادامه، این سرعت‌ها بر حسب عدد موج رسم شدند. به طور تحلیلی، شرایط ناپایداری مدولاسیونی و همچنین وجود انواع گوناگون مدهای پوش جایگزینه (روشن و تاریک) بر حسب پارامترهای پلاسما بررسی شده است. در نهایت با ترسیم نمودار، به طور عددی مناطق پایداری و ناپایداری مدولاسیونی بررسی شدند.

واژگان کلیدی: سالیتون الکترومغناطیسی، برهمنکنش لیزر-پلاسما، تابع توزیع تسالیس، معادله شرودینگر غیرخطی

مقدمه

سالیتون بسته موجی است که می‌تواند بدون اتلاف و یا تغییر شکل در محیط منتشر شود. یکی از محیط‌هایی که در آن به دلیل تعادل بین اثرات غیرخطی و پاشندگی می‌تواند سالیتون به وجود آید؛ پلاسما است. با انتشار پالس لیزری در محیط پلاسما می‌توان انتظار داشت که اثرات نسبیتی و غیرخطی بروز کنند. در سال‌های اخیر با تولید لیزرهای پرتوان که دارای شدت فوق العاده‌ای هستند، این موضوع مورد توجه قرار گرفته و در حوزه‌های مختلف از قبیل لیزرهای اشعه ایکس و

*نویسنده مسئول: abdykian@gmail.com

^۱ Tsallis

همجوشی کاربرد چشمگیری داشته است. در دهه ۶۰ میلادی آخایزر و پولووین معادلات کوبیل شده الکترونی نسبیتی و ماکسول را برای مدل‌سازی برهمنکنش امواج الکترومغناطیسی قوى (لیزر پرتون) با پلاسما پیشنهاد دادند و راه حل‌های دقیق غیرخطی‌ای برای توصیف انتشار پالس شدید لیزر در پلاسما ارائه کردند [۱]. از سالیتون‌هایی که در محیط پلاسما ایجاد می‌شوند می‌توان به سالیتون آکوستیکی، سالیتون الکتروستاتیکی و سالیتون الکترومغناطیسی اشاره کرد [۲-۵]. سالیتون الکترومغناطیسی به علت برهمنکنش غیرخطی بین پالس لیزر با شدت بالا و پلاسما ایجاد می‌شود و دارای کاربردهایی از قبیل گداخت لیزری، شتاب دهنده ذرات مبتنی بر پلاسما وغیره است [۶-۷]. با مجموعه معادلات ماکسول و معادلات سیالات، دسته معادلاتی به دست می‌آید که به همراه روش اختلال مقیاس چندگانه^۱ می‌توانند برای بررسی ساختار سالیتون‌ها به کار گرفته شوند [۸-۱۰]. رفتار سالیتونی الکترومغناطیسی نسبیتی یک‌بعدی با استفاده از حل معادله شاره در پلاسمای همگن و غیرهمگن به صورت عددی توسط ساکسنا و همکاران بررسی شده است [۱۱-۱۲]. برهانیان و همکاران [۱۳] سالیتون الکترومغناطیسی با قطبش دایروی را در یک پلاسمای مغناطیسی با روش اختلال مقیاس چندگانه بررسی کردند. هم‌چنین شرایط ناپایداری مدولاسیونی و وجود انواع گوناگون بسته مدهای جایگزینه را با پارامترهای مربوطه مطالعه کردند. محاسبات ارائه شده توسط آنها نشان داد که امواج قطبیده شده دایروی راستگرد^۲ (RCP) با توجه به شدت میدان مغناطیسی مدولاسیون ناپایدار هستند و به صورت سالیتون نوع روش مننشر می‌شوند. در حالی که برای امواج قطبیده شده دایروی چپگرد^۳ (LCP) در میدان مغناطیسی قوى مدولاسیون پایدار بوده و به صورت سالیتون تاریک مننشر می‌شوند.

از طرفی، مشاهدات در پلاسماهای آزمایشگاهی و فضایی حاکی از اثرات غیرخطی برهمنکنش لیزر-پلاسما در پلاسماهای غیرماکسولی است [۱۴-۱۵]. در این حالت توزیع ذرات موجود در پلاسما توزیعی غیرماکسولی است. بررسی‌های انجام شده توسط فضاییمای وایکینگ [۱۶] و ماهواره فرجا [۱۷] نشان می‌دهند که ساختار سالیتونی در مغناطوسفر نمی‌تواند با تابع توزیع ماکسولی بیان شود. توابع توزیع غیرماکسولی در زمینه‌های مختلفی به عنوان شبکه‌های اپتیکی پاشنده، دینامیک سیستم‌های بلند برد و غیره کاربرد دارند [۱۸-۲۰]. کایرنز و همکاران [۲۱] تابع توزیع غیرتعادلی برای ذرات پلاسما پیشنهاد کردند که می‌توانست بیانگر سالیتون‌های آکوستیکی یونی بوده و بسیار شبیه به مشاهدات ماهواره فریجا و فضاییمای وایکینگ بود. در تابع توزیع غیرتعادلی پیشنهادی پارامتری به نام α (۰) معرفی شده است که جمعیت ذرات غیرتعادلی محیط را نشان می‌دهد و عددی بین ۰ و ۱ بوده به طوری که اگر این پارامتر α به سمت صفر میل کند، این تابع توزیع به تابع توزیع ماکسولی میل می‌کند. سپس تسالیس و همکاران [۲۲-۲۴] از مکانیک آماری نافزونور^۴ برای

¹ Multiple scale perturbation technique

² Right-hand circularly polarized

³ Left-hand circularly polarized

⁴ Nonextensive

توصیف سیستم‌های با برهمکنش بلند برد استفاده کردند. آنها با تعمیم آنتروپی بولتزمن-گیبس^۱ (BG) تابع توزیع جدیدی را پیشنهاد دادند که در حوزه‌های نجوم و پلاسمای کاربرد گسترده‌ای پیدا کرده است. تابع توزیع تسالیس برای توصیف پدیده‌های مختلفی در پلاسمای قبیل شبکه‌های اپتیکی اتلافی [۲۵] و انتشار موج پلاسمای [۲۶-۲۷] به کار می‌رود. فاکتور اصلی تابع توزیع تسالیس پارامتر q است که بیانگر درجه نافرونوی بوده و دارای دو حالت اصلی است. برای حالت اول $-1 < q < +1$ بوده و ذرات سیستم تمامی سرعت‌ها را پوشش می‌دهند. حالت دوم زمانی است که $q > +1$ باشد. تابع توزیع تسالیس را می‌توانیم به صورت زیر تعریف کنیم:

$$f_s(v_x) = C_{q,\alpha} \left(1 + \alpha \frac{v_x^4}{v_T^4}\right) \left\{1 - (q-1)\alpha \frac{v_x^2}{2v_T^2}\right\}^{1/(q-1)},$$

که در این رابطه v_T سرعت گرمایی، T دمای مطلق، k_B ثابت بولتزمن و m جرم ذرات پلاسمای است. در این حالت تابع توزیع دارای یک ماکریتم مقدار برای سرعت ذرات سیستم است که برابر است با

$$V_{max} = \sqrt{\frac{2}{q-1}} v_T$$

در صورتی که $-1 < q$ باشد تابع توزیع نابهنجار است. مقایسه تابع توزیع ماکسولی و تابع توزیع نافرونوی نشان می‌دهد که برای $q > +1$ حالات با انرژی بالا بسیار به تابع توزیع ماکسولی و برای حالت $-1 < q < +1$ به تابع توزیع نافرونوی شباهت دارند. وقتی q به سمت ۱ میل می‌کند تابع توزیع تسالیس به توزیع توابع ماکسول-بولتزمن تبدیل می‌شود. از این تابع می‌توان برای محاسبه چگالی ذرات و فشار ذرات به صورت زیر استفاده کرد

$$N_s(\varphi) = \int f_s(v_x) dv_x$$

$$P_s = \frac{m_0}{3} \int v_x^2 f_s(v_x) dv_x$$

در این مقاله انتشار پالس الکترومغناطیسی قطبیده شده دایروی در پلاسمای نسبیتی با در نظر گرفتن تابع توزیع تسالیس برای ذرات الکترون بررسی شده است. با استفاده از مجموعه معادلات ماکسول و معادلات سیالات و به کمک روش

^۱ Boltzmann-Gibbs

اختلال مقیاس چندگانه معادله شرودینگر غیرخطی برای چنین سیستمی به دست آورده شده و جواب‌های تحلیلی خاص و عددی آن رائه شده است.

روابط بنیادی معادلات دینامیکی

فرض می‌کنیم که پالس لیزری قوی در یک پلاسمای دومولفه‌ای، شامل الکترون و یون، بدون برخورد و غیرمغناطییده با تابع توزیع تسالیس برای ذرات الکترون و در راستای محور x انتشار یابد. فرض می‌شود که پلاسمما در میدان مغناطیسی یکنواخت خارجی $\vec{B}_0 = B_0 \hat{x}$ قرار گرفته است. یون‌های سنگین با بار مثبت ساکن فرض می‌شوند. برای بررسی این پالس الکترومغناطیسی، معادله حرکت (۱)، معادله پیوستگی (۲)، معادله پواسون (۳) و معادله موج الکترومغناطیسی (۴) با احتساب پیمانه کولن بصورت زیر در نظر گرفته می‌شود [۲۸ - ۱۳].

$$m_e N_e \left(\frac{\partial}{\partial t} + \vec{u}_e \cdot \nabla \right) \vec{u}_e = -e N_e \vec{E} - \frac{e}{c} N_e \vec{u}_e \times \vec{B} - \nabla P_e, \quad (1)$$

$$\frac{\partial N_e}{\partial t} + \nabla \cdot (N_e \vec{u}_e) = 0, \quad (2)$$

$$\nabla^2 \Phi = 4\pi e (N_e - N_i), \quad (3)$$

$$\nabla^2 \vec{A} - \frac{1}{c^2} \frac{\partial^2 \vec{A}}{\partial t^2} - \frac{1}{c} \frac{\partial}{\partial t} \nabla \Phi = \frac{4\pi e}{c} (N_e \vec{u}_e - N_i \vec{u}_i), \quad (4)$$

جمله آخر در سمت راست معادله (۱) P_e فشار ناشی از تابع توزیع تسالیس است که در ادامه تابعیت آن به دست می‌آید. با استفاده از تعریف انتگرال به راحتی می‌توانیم چگالی الکترون‌ها را با تابع توزیع تسالیس به صورت زیر بیابیم:

$$N_e(\Phi) = N_0 \left\{ 1 + A \left(\frac{e\Phi}{T_e} \right) + B \left(\frac{e\Phi}{T_e} \right)^2 \right\} \left(1 + (q-1) \frac{e\Phi}{T_e} \right)^{\frac{1}{q-1} + \frac{1}{2}}, \quad (5)$$

در رابطه بالا $B = \frac{16\alpha q (2q-1)}{(5q-3)(3q-1)+12\alpha}$ $A = -\frac{16\alpha q}{(5q-3)(3q-1)+12\alpha}$ تعریف می‌شوند، که در آن α نسبت

الکترون‌های غیرتعادلی و q نشان‌دهنده پارامتر نافزاونور در پلاسمما هستند. برای نرمالیزاسیون معادلات (۱) تا (۵) از

پارامترهای زیر استفاده می‌کنیم:

$$\begin{aligned} t \rightarrow t\omega_{pe}, \quad x \rightarrow \frac{\omega_{pe}}{c}x, \quad \varphi \rightarrow \frac{e\Phi}{T_e}, \quad u_e \rightarrow \frac{u_e}{c}, \quad n_e \rightarrow \frac{N_e}{N_0}, \quad \omega_{pe} = \sqrt{\frac{4\pi e^2 N_0}{m_e}}, \\ \omega_c = \frac{eB_0}{m}, \quad \Omega_c = \frac{\omega_c}{\omega_{pe}}, \quad \delta = \frac{n_{e0}}{n_{e0}}, \end{aligned} \quad (6)$$

با تقریب یک بعدی که در آن $\partial/\partial y = \partial/\partial z = 0$ است، معادلات (۱) تا (۵) بصورت زیر نوشته می‌شوند:

$$n_e \left(\frac{\partial}{\partial t} + u_e \frac{\partial}{\partial x} \right) (\gamma u_e) = n_e \frac{\partial \varphi}{\partial x} - \frac{n_e}{2\gamma} \frac{\partial A_\perp^2}{\partial x} - \frac{1}{m_0 N_0 c^2} \frac{\partial P_e}{\partial x}, \quad (7)$$

$$u_{e\perp} = \frac{A_\perp}{\gamma}, \quad (8)$$

$$\frac{\partial n_e}{\partial t} + \frac{\partial}{\partial x} (n_e u_e) = 0, \quad (9)$$

$$\frac{\partial^2 \varphi}{\partial x^2} = n_e - 1, \quad (10)$$

$$\frac{\partial^2 A_\perp}{\partial x^2} - \frac{\partial^2 A_\perp}{\partial t^2} = \frac{n_e A_\perp}{\gamma}, \quad (11)$$

که در آن φ و A پتانسیل اسکالر و برداری و n_0 جرم سکون الکترون و N_0 چگالی الکترون غیرمختل شده هستند. در معادلات بالا γ فاکتور نسبیتی است.

$$\gamma = \sqrt{(1 + A_\perp^2)/(1 - u_e^2)}, \quad (12)$$

برای جایگذاری جمله فشار در معادلات بالا از روابط زیر بهره می‌گیریم:

$$\frac{\partial P_e}{\partial x} = \frac{dP_e/d\varphi}{dN_e/d\varphi} \frac{\partial N_e}{\partial x} = \left(\frac{dP_e}{dN_e} \right)_{\varphi=0} \frac{\partial N_e}{\partial x} = m_0 c_{sc}^2 \frac{\partial N_e}{\partial x}, \quad (13)$$

که در آن $c_{sc}^2 = \frac{1}{m_0} \left(\frac{dP_e}{dN_e} \right)_{\varphi=0}$ است. با جایگذاری رابطه (۱۳) در (۷) و با مختصر ساده‌سازی، می‌توانیم آن را به صورت مجدد به صورت زیر بازنویسی کنیم:

$$n_e \frac{\partial}{\partial t} (\gamma u_e) = n_e \frac{\partial}{\partial x} (\varphi - \gamma) - \frac{c_{sc}^2}{c^2} \frac{\partial n_e}{\partial x}$$

معادله تحول پوش موج الکترومغناطیسی

بردار $\vec{S} = (n_e, u_e, \varphi, A)$ که حالت سیستم در موقعیت مکانی x و زمانی t توصیف می‌کند را در نظر می‌گیریم. برای حالت غیرخطی ضعیف، می‌توان از نظریه اختلال کاهنده استفاده کرد و بردار \vec{S} را به صورت زیر در نظر گرفت:

$$\vec{S} = \vec{S}_0 + \sum_{n=-\infty}^{+\infty} \varepsilon^n \vec{S}^{(n)}, \quad (14)$$

که \vec{S}_0 حالت تعادل سیستم را نشان می‌دهد و پارامتر ε پارامتر بدون بعد کوچکی است که میزان انحراف سیستم از حالت تعادل را نشان می‌دهد به طوری که $1 < \varepsilon < \infty$. در ادامه روش اختلال کاهنده را با فرض بسط دادن متغیرهای مکان و زمان به صورت زیر استفاده می‌کنیم:

$$X_m = \varepsilon^m x, \quad T_m = \varepsilon^m t, \quad (15)$$

که در آن $m = 0, 1, 2, \dots$ است. باید توجه شود که $m = 0$ متناظر با مقیاس حامل فضازمان سریع است، در حالی که برای اندیس‌های $m > 1$ تحول پوش کند است. با فرض این‌که متغیرها مستقل از هم هستند، معادله (15) به صورت زیر می‌شود [۱۳ - ۲۸].

$$\frac{\partial}{\partial t} = \partial_0 + \varepsilon \partial_1 + \varepsilon^2 \partial_2 + \dots, \quad (16)$$

$$\frac{\partial}{\partial x} = \nabla_0 + \varepsilon \nabla_1 + \varepsilon^2 \nabla_2 + \dots, \quad (17)$$

که در آن ∂_m و ∇_m به ترتیب بیانگر $\partial/\partial T_m$ و $\partial/\partial X_m$ هستند. فرض می‌کنیم که حالت مختل شده تنها به متغیر سریع از طریق $\psi = kx - \omega t$ بستگی دارد که عدد موج و ω فرکانس زاویه‌ای پالس هستند که به ترتیب با مقیاس‌های کند با l امین دامنه هارمونیکی $\vec{S}_l^{(n)}$ که نمایانگر تغییرات کند $k_{ps} = \omega_{ps}/c$ و ω_{ps} بهنجار شده‌اند. شرط حقیقی $\vec{S}_{-l}^{(n)} = \vec{S}_l^{(n)*}$ برای تمامی دامنه‌های هارمونیکی برقرار است. همچنین هستند. به محاسبات وارد می‌شوند. شرط حقیقی $\vec{S}_{-l}^{(n)} = \vec{S}_l^{(n)*}$ برای تمامی دامنه‌های هارمونیکی برقرار است. همچنین متغیرهای وابسته به صورت زیر بیان می‌شوند:

$$S = S_0 + \varepsilon S_0^{(1)} + \varepsilon S_1^{(1)} e^{i\psi} + \varepsilon^2 S_0^{(2)} + \varepsilon^2 S_1^{(2)} e^{i\psi} + \varepsilon^2 S_2^{(2)} e^{2i\psi} + \varepsilon^3 S_0^{(3)} + \varepsilon^3 S_1^{(3)} e^{i\psi} + \varepsilon^3 S_2^{(3)} e^{2i\psi} + \varepsilon^3 S_3^{(3)} e^{3i\psi} + c.c., \quad (18)$$

جایگذاری روابط (15) تا (18) در معادلات (۷) تا (۱۱) و برای مرتبه اول ($n = 1$)، منجر به دستگاه معادلات خطی می‌شوند که می‌توانند انتشار امواج الکترومغناطیسی را در پلاسمای مغناطیسی در ناحیه خطی توصیف کنند. برای مرتبه اول و هارمونیک صفرم ($n = 0$ و $l = 1$) خواهیم داشت:

$$n_{\varepsilon 0}^{(1)} = u_{\varepsilon 0}^{(1)} = A_0^{(1)} = 0, \quad (19)$$

برای مرتبه اول و هارمونیک اول یعنی ($l = 1$ و $n = 0$) خواهیم داشت

$$\begin{aligned} -A_1^{(1)} - k^2 A_1^{(1)} + \omega^2 A_1^{(1)} &= 0, \\ -n_{\varepsilon 1}^{(1)} - k^2 \varphi_1^{(1)} &= 0, \\ \omega n_{\varepsilon 1}^{(1)} - k u_{\varepsilon 1}^{(1)} &= 0, \\ -\omega n_{\varepsilon 1}^{(1)} - k \varphi_1^{(1)} + \frac{(1+2A+q)b}{2} k \varphi_1^{(1)} &= 0, \end{aligned} \quad (20)$$

که در آن $b = c_{sc}^2/c^2$. از معادلات بالا داریم

$$n_{\varepsilon 1}^{(1)} = u_{\varepsilon 1}^{(1)} = \varphi_1^{(1)} = 0, \quad (21)$$

با استفاده از این روابط می‌توان رابطه پاشندگی را به صورت زیر به دست آورد.

$$\omega^2 = 1 + k^2, \quad (22)$$

از این رابطه می‌توان سرعت گروه و سرعت فاز را به دست آورد.

برای مرتبه دوم و هارمونیک صفر ($l = 0$ و $n = 2$) داریم

$$n_{\varepsilon 0}^{(2)} = u_{\varepsilon 0}^{(2)} = A_0^{(2)} = \frac{\partial \varphi_1^{(1)}}{\partial X_1} = 0, \quad (23)$$

برای مرتبه دوم و هارمونیک اول ($l = 1$ و $n = 2$) داریم

$$n_{\varepsilon 1}^{(2)} = u_{\varepsilon 1}^{(2)} = \varphi_1^{(2)} = 0, \quad (24)$$

۶

$$\frac{\partial A_1^{(1)}}{\partial T_1} + v_g \frac{\partial A_1^{(1)}}{\partial X_1} = 0, \quad (25)$$

که v_g سرعت نام دارد. رابطه (۲۵) بیانگر این نکته است که بسته موج با سرعت ثابت گروه حرکت می‌کند.

$$v_g = \frac{d\omega}{dk} = \frac{k}{\omega}, \quad (26)$$

در ادامه برای مرتبه دوم و هارمونیک دوم ($l = 2$ و $n = 2$) داریم

$$n_{\varepsilon 2}^{(2)} = \frac{4k^2}{8\omega^2 - 2 + b(1+2A+q)} \left(A_1^{(1)} \right)^2, \quad (27)$$

$$u_{\theta 2}^{(2)} = \frac{4k\omega}{8\omega^2 - 2 + b(1 + 2A + q)} \left(A_1^{(1)}\right)^2, \quad (28)$$

$$\varphi_{\theta 2}^{(2)} = -\frac{1}{8\omega^2 - 2 + b(1 + 2A + q)} \left(A_1^{(1)}\right)^2, \quad (29)$$

روابط (۲۷) تا (۲۹) نشان دهنده این نکته هستند که تنها دامنه چگالی، سرعت و پتانسیل اسکالر مرتبه دوم مختل شده

غیرصفر است. برای مرتبه سوم و هارمونیک صفرم ($\textcolor{brown}{l} = 0$ و $\textcolor{brown}{n} = 3$) داریم

$$\begin{cases} n_{\theta 0}^{(3)} = u_{\theta 0}^{(3)} = A_0^{(3)} = 0, \\ \varphi_0^{(2)} = \frac{1}{(1 - bC_1)} \left|A_1^{(1)}\right|^2, \end{cases} \quad (30)$$

برای مرتبه سوم و هارمونیک اول ($\textcolor{brown}{l} = 1$ و $\textcolor{brown}{n} = 3$) داریم

$$n_{\theta 1}^{(3)} = u_{\theta 1}^{(3)} = \varphi_1^{(3)} = 0, \quad (31)$$

برای وجود شرط خودسازگاری، باید مجموعه‌ای از معادلات تحولی برقرار باشند. که به صورت زیر بیان می‌شود

$$i\left(\partial_2 A_1^{(1)} + v_g \nabla_2 A_1^{(1)}\right) + P \nabla_1^2 A_1^{(1)} + Q \left|A_1^{(1)}\right|^2 A_1^{(1)} = 0, \quad (32)$$

در معادله بالا، از نماد متعارف $\nabla_j = \partial/\partial X_j$ استفاده شده است (که اندیس $j = 1$ یا 2 است). ضریب پاشندگی P و

ضریب غیرخطی Q در معادله (۳۲) به ترتیب با روابط زیر داده می‌شوند:

$$P = \frac{1}{2} \frac{d^2 \omega}{dk^2} = \frac{1}{2\omega^3}, \quad (33)$$

$$Q = \frac{3}{4\omega} - \frac{1}{\omega} \frac{2k^2}{8\omega^2 + (1 + 2A + q)c_{ss}^2/c^2 - 2}, \quad (34)$$

ضریب غیرخطی شامل دو جمله است که بخش اول ناشی از عامل غیرخطی نسبیتی و بخش دوم از اختلال چگالی الکترونی که ناشی از نیروی غیرخطی پاندروموتیو^۱ است ناشی می‌شود. با در نظر گرفتن پتانسیل برداری در معادله (۳۲) به

صورت زیر

$$A \approx A_1^{(1)} e^{i(kx - \omega t)} = \psi(x, t) e^{i(kx - \omega t)} + c.c., \quad (35)$$

که در آن دامنه (x, t) از معادله شرودینگر غیرخطی زیر تبعیت می‌کند، می‌توانیم معادله (۳۲) را حل کنیم [۱۳]

$$i \frac{\partial \psi}{\partial \tau} + P \frac{\partial^2 \psi}{\partial \xi^2} + Q |\psi|^2 \psi = 0, \quad (36)$$

^۱ Ponderomotive

که برای به دست آوردن معادله فوق از تبدیل گالیله $v_g t = x - \xi$ و $t = \tau$ که در چارچوبی که با سرعت گروه حرکت می‌کند، استفاده شده است [۱۳].

نایپایداری مدولاسیونی

صرف نظر از علامت P/Q ، دامنه موج جواب معادله (۳۶) به صورت موج تخت $\psi(\xi, \tau) = \psi_0 \exp(iQ|\psi_0|^2\tau)$ تحول می‌باید. برای بررسی پایداری موج تخت، اگر یک دامنه اختلال کوچک که با بزرگی ρ ، فرکانس کوچک ω و همچنین عدد موج کوچک k در نظر گرفته شود، میتوان به رابطه پاشندگی زیر رسید

$$\tilde{\omega}^2 = P^2 k^2 \left(k^2 - 2 \frac{Q}{P} |\rho|^2 \right), \quad (37)$$

از رابطه بالا در می‌باییم در صورتی که $P/Q < 0$ باشد موج تخت پایدار است و در صورتی که $P/Q > 0$ باشد، ممکن است موج تخت نایپایداری مدولاسیونی (MI) را تجربه کند. نرخ رشد نایپایداری برای $\tilde{k} = |\rho| \sqrt{Q/P} = k_0$ بیشینه است و برابر با $Q|\rho|^2$ بوده و از صفر تا مقدار $\tilde{k} = \sqrt{2}|\rho| \sqrt{Q/P}$ منتشر می‌شود [۲۹، ۳۰]. به غیر از جواب‌های موج تخت، معادله (۳۶)، جواب‌های سالیتونی جایگزینه نیز دارد. بسته به علامت ضرب P/Q ، می‌تواند سالیتون روشن و یا تاریک باشد [۳۱-۲۹]. به طور فیزیکی، پتانسیل برداری زیر را در نظر می‌گیریم:

$$A_1^{(1)} = \psi_0 e^{i(kx - \omega t + \theta)} + c.c., \quad (38)$$

که در آن ψ_0 تغییرات دامنه کوچک بوده و θ از جایگذاری $(\theta) = \psi_0 \exp(\theta)$ در رابطه (۳۶) به دست می‌آید. همچنین به همین روش می‌توانیم نوع سالیتون (روشن یا تاریک) را نیز تعیین کنیم. جواب سالیتون روشن معادله شرودینگر غیرخطی (۳۶) که با سرعت ثابت u_e حرکت می‌کند، به صورت زیر است [۱۳-۳۱]:

$$\psi_0 = \rho_0 \operatorname{sech} \left(\frac{\xi - u_e \tau}{L} \right), \quad (39)$$

$$\theta = \frac{1}{2P} \left[u_e \xi - \left(P Q \rho_0^2 + \frac{1}{2} u_e^2 \right) \tau \right], \quad (40)$$

که در آن L عرض سالیتون بوده که متناسب با عکس دامنه ρ_0 است و رابطه $L\rho_0 = \sqrt{2P/Q} = \text{constant}$ بین آنها برقرار است. مجدداً یادآوری می‌شود که پارامترهای ذکر شده در رابطه (۴۰)، به صورت P ضریب پاشندگی، Q ضریب غیرخطی، ρ_0 دامنه سالیتون، L عرض سالیتون و u_e سرعت سالیتون تعریف می‌شوند. یکی از ویژگی‌های اساسی این نوع سالیتون این است که دامنه مستقل از سرعت پوش u_e است. برای جواب سالیتون تاریک رابطه تحلیلی زیر به دست می‌آید [۳۱-۲۹، ۱۳]:

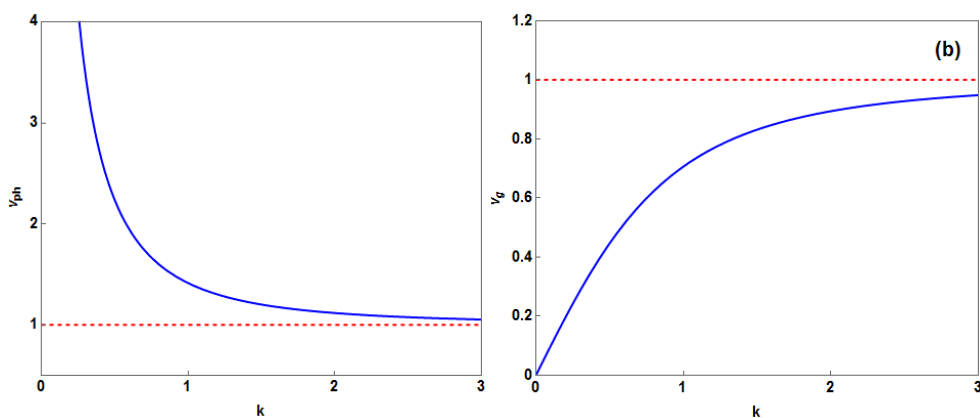
$$\psi_0 = \rho_0 \left| \tanh \left(\frac{\xi - u_s \tau}{L'} \right) \right|, \quad (41)$$

$$\theta = \frac{1}{2P} \left[u_s \xi + \left(PQ\rho_0^2 - \frac{1}{2} u_s^2 \right) \tau \right], \quad (42)$$

نتیجه‌گیری

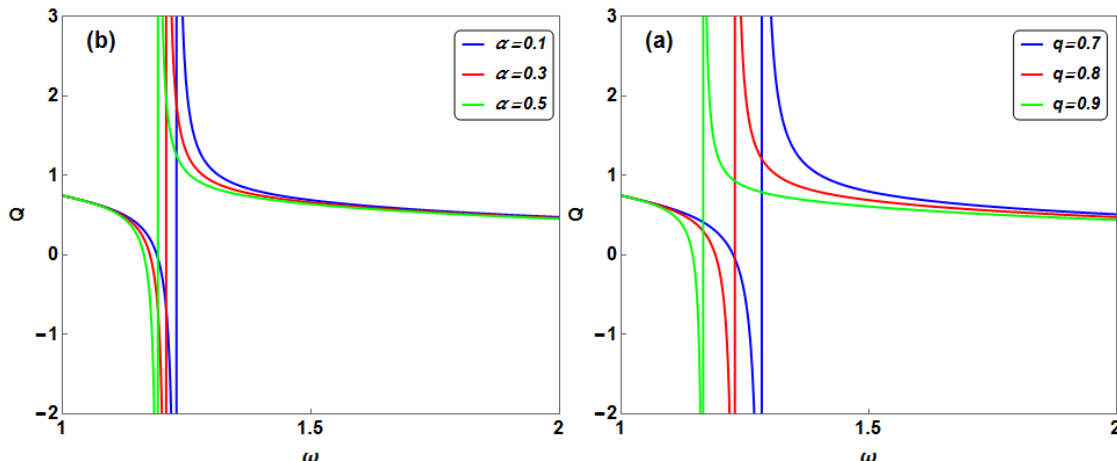
در این مقاله با درنظر گرفتن یک پلاسمای دو مؤلفه‌ای غیربرخورده و غیرمغناطیسی، شامل الکترون‌های غیرتعادلی و یون‌های سنگین به عنوان یک زمینه با بار مثبت، برهمنکنش یک پالس لیزرن قوی بر این محیط پلاسمای بررسی شده است. سپس با استفاده از روش اختلال مقیاس چندگانه معادله غیرخطی حاکم بر انتشار این موج و جواب‌های آن ارائه شده است. کوپل شدگی بین موج الکترومغناطیسی عرضی و موج پلاسمای موجب تشکیل سالیتون الکترومغناطیسی می‌شود.

در شکل (۱)، نمودار سرعت فاز (v_{ph} یا معادله ۲۲) و سرعت گروه (v_g یا معادله ۲۶) بر حسب عدد موج (k) رسم شده‌اند. باید خاطر نشان کرد که این سرعت‌ها به سرعت نور (به روابط ۶ مراجعه شود) نرمالایز شده‌اند. همان‌طور که از شکل متوجه می‌شویم و با توجه به تعاریف معادلات (۲۲) و (۲۶) این سرعت‌ها مستقل از پارامتر نافزاونور پلاسمای (q) و یا نسبت الکtron‌های غیرتعادلی (α) هستند. اگرچه در حد عدد موج زیاد، سرعت فاز و سرعت گروه با توجه به شکل (۱) به سمت عدد ۱ (که همان سرعت نور است) می‌کنند، اما رفتار این سرعت‌ها با هم متفاوت هستند. به این صورت که، با افزایش عدد موج سرعت فاز از مقادیر زیاد به سمت مقدار یک کاهش یافته ولی سرعت گروه به سمت مقدار یک افزایش می‌یابد. از آنجایی که این تعاریف برای تمامی مدها به دست آمده یکسان هستند؛ لذا این رفتار برای همه مدها اتفاق می‌افتد.



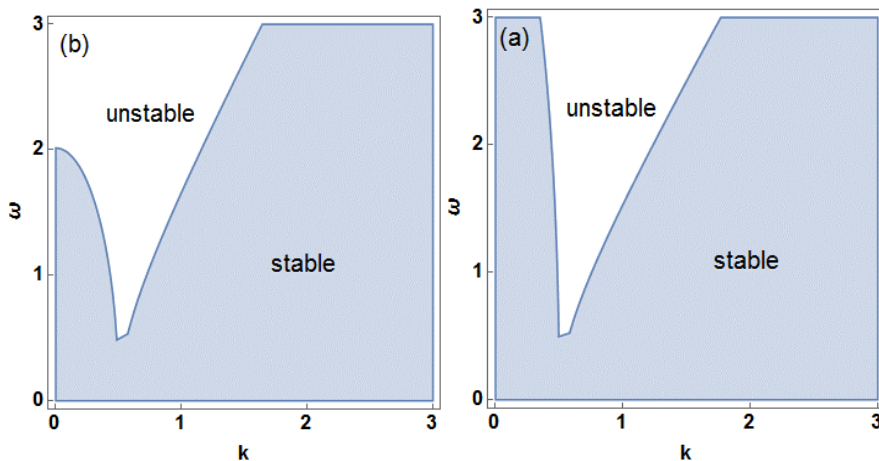
شکل ۱. نمودار سرعت فاز (v_{ph}) و سرعت گروه (v_g) بر حسب عدد موج

سمت چپ شکل (۱)، نمودار ضریب غیرخطی معادله شروдинگر (Q) نسبت به فرکانس بهنجار شده (ω) برای مقادیر مختلف پارامتر نافرونور در پلاسمای (q) رسم شده است. با انتخاب مقدار ثابتی برای $\alpha = 0.15$ (نسبت الکترون‌های غیرتعادلی) و $k_B T_e = 1 \text{ MeV}$ ، مشخص می‌شود که هر چه مقدار q افزایش می‌یابد، مقدار ضریب غیرخطی کاهش می‌یابد. سمت راست شکل (۲)، نمودار Q نسبت به فرکانس بهنجار شده (ω) برای مقادیر مختلف پارامتر α رسم شده است. با انتخاب مقدار ثابتی برای $k_B T_e = 1 \text{ MeV}$ و $q = 0.8$ و $\alpha = 0.1$ افزایش می‌یابد، مقدار ضریب غیرخطی کاهش می‌یابد.



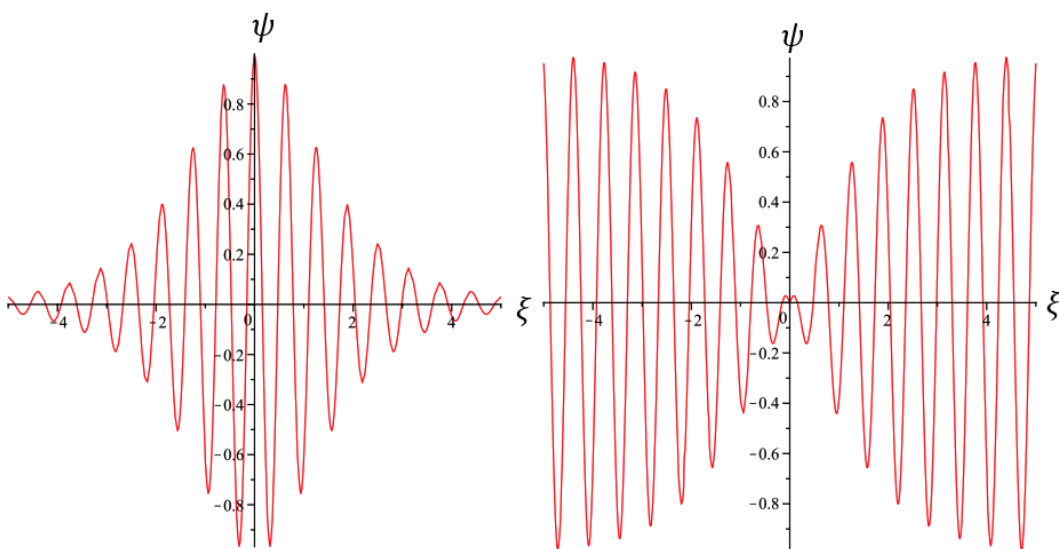
شکل ۲. تغییرات ضریب غیرخطی Q بر حسب فرکانس ω برای سه مقدار متفاوت q وقتی $\alpha = 0.15$ ثابت باشد (شکل چپ) و برای سه مقدار متفاوت α وقتی $q = 0.8$ ثابت در نظر گرفته شود (شکل راست)

از رابطه (۳۷) در می‌یابیم که تعیین علامت P/Q مهم است. بلاواقع، اگر $P/Q < 0$ باشد موج تخت پایدار بوده و در صورتی که $P/Q > 0$ باشد، ممکن است موج تخت میرا شود. لذا با رسم نمودار P/Q سعی می‌شود، منطقه جواب‌ها را برای هر دو دسته پایدار و ناپایدار به دست آورد. که با توجه به تابعیت ضرایب پاشندگی و غیرخطی به پارامترهای پلاسمای، این مناطق می‌توانند تغییر کنند. منطقه پایداری و ناپایداری امواج غیرخطی در شکل (۳) برای مقادیر متفاوت پارامتر نافرونور (q) و نسبت الکترون‌های غیرحرارتی (α) رسم شده است. منطقه پایدار با رنگ تیره و منطقه ناپایدار با رنگ روشن در شکل مشخص شده است. از شکل زیر واضح است که با افزایش پارامتر نافرونور از $q = 0.6$ به $q = 0.9$ مقادیر منطقه پایدار کوچک‌تر و به سمت منطقه ناپایدار کشیده می‌شود.



شکل ۳. رسم منطقه پایداری و ناپایداری امواج غیرخطی برای مقادیر متفاوت (چپ) $q = 0.6$ و (راست) $q = 0.9$ وقتی $\alpha = 0.15$ باشد.

جواب سالیتون‌های روشن و تاریک معادله (۳۶) در شکل (۴) رسم شده است. برای رسم شکل سمت چپ (سالیتون تاریک) از شرط $P/Q > 0$ و جواب (۳۸) به شرطی که (۳۹) و (۴۰) برقرار باشد استفاده کردہ‌ایم. همین‌طور برای شکل سمت راست (سالیتون روشن) از شرط $0 < P/Q < Q$ و جواب (۳۸) به شرطی که (۴۱) و (۴۲) برقرار باشد استفاده کردہ‌ایم. محور افقی پارامتر مکان تبدیل یافته (ξ) و محور عمودی تابع $\psi(x, 0)$ است. برای رسم جواب‌های روشن و تاریک، سعی شده است که تغییرات فضایی یک پالس به طور کامل در نظر گرفته شود.



شکل ۴. رسم جواب‌های سالیتونی معادله شرودینگر غیرخطی (۳۶) سالیتون روشن (شکل راست) و سالیتون تاریک (شکل چپ)

منابع

1. A.I. Akhiezer, R. Polovin, Soviet Phys. JETP **3**, (1956).
2. E. Heidari, M. Aslaninejad, H. Eshraghi, L. Rajaei, Phys. Plasmas **21**, 032305 (2014).
3. Y. Kominis, Phys. Rev. A **87**, 063849 (2013).
4. G. Williams, I. Kourakis, F. Verheest, M.A. Hellberg, Phys. Rev. E **88**, 023103 (2013).
5. F. Haas, S. Mahmood, Phys. Rev. E **94**, 033212 (2016).
6. G. Sánchez-Arriaga, E. Siminos, V. Saxena, I. Kourakis, Phys. Rev. E **91**, 033102 (2015).
7. D. Farina, S.V. Bulanov, Plasma Phys. Control. Fusion **47**, A73 (2005).
8. A. Abdikian, Phys. Plasmas **24**, 052123 (2017).
9. D. Farina, S. Bulanov, Phys. Rev. Lett. **86**, 5289 (2001).
10. L. Hadzievski, A. Mancic, M. Skoric, Publications de l'Observatoire Astronomique de Beograd **82**, 101 (2007).
11. V. Saxena, A. Das, A. Sen, P. Kaw, Phys. Plasmas **13**, 032309 (2006).
12. V. Saxena, I. Kourakis, G. Sanchez-Arriaga, E. Siminos, Phys. Lett. A **377**, 473 (2013).
13. J. Borhanian, I. Kourakis, S. Sobhanian, Phys. Lett. A **373**, 3667 (2009).
14. H.B. Qiu, H.Y. Song, S.-B. Liu, Phys. Plasmas **22**, 092128 (2015).
15. L. Rios, R. Galvao, Phys. Plasmas **17**, 042116 (2010).
16. R. Bostrom, IEEE Trans. Plasma Sci. **20**, 756 (1992).
17. P. Dovner, A. Eriksson, R. Boström, B. Holback, Geophys. Res. Lett. **21**, 1827 (1994).
18. G. Gloeckler, J. Geiss, Space Sci. Rev. **86**, 127-159 (1998).
19. B. Mauk, D. Mitchell, R. McEntire, C. Paranicas, E. Roelof, D. Williams, S. Krimigis, A. Lagg, J. Geophys. Res. **109**, (2004).
20. E. Lutz, F. Renzoni, Nature Physics **9**, 615 (2013).
21. R. Cairns, A. Mamum, R. Bingham, R. Boström, R. Dendy, C. Nairn, P. Shukla, Geophys. Res. Lett. **22**, 2709 (1995).
22. V. Latora, A. Rapisarda, C. Tsallis, Phys. Rev. E **64**, 056134 (2001).

23. V. Latora, A. Rapisarda, C. Tsallis, Physica A **305**, 129 (2002).
24. R. Amour, M. Tribeche, P.K. Shukla, Astrophys. Space Sci. **338**, 287 (2012).
25. P. Douglas, S. Bergamini, F. Renzoni, Phys. Rev. Lett. **96**, 110601 (2006).
26. L.A. Gougam, M. Tribeche, Astrophys. Space. Sci. **331**, 181 (2011).
27. H.R. Pakzad, Astrophys. Space Sci. **333**, 247 (2011).
28. J. Borhanian, Phys. Lett. A **6**, 595 (2015).
29. T. Dauxois, M. Peyrard, *Physics of solitons*, (Cambridge University Press, 2006).
30. A. Abdikian, S. Ismaeel, Eur. Phys. J. Plus **132**, 368 (2017).
31. R. Fedele, H. Schamel, Eur. Phy. J. B **27**, 313 (2002).